

半正定値計画問題における疎性を活用した 交互方向乗数法

hikaru

2016 年 6 月 14 日

- 対象とする問題:半正定値計画問題 (semidefinite programming, SDP)
→ 幅広く応用、大規模な問題を解く必要
- 解法:
主双対内点法 → 多項式時間だが大規模に不向き
1 次法 → 収束は遅いが一般的に計算量は少ない
- 目的:
大規模な問題を少ない記憶領域で高速に解きたい

疎性を活用し 1 次法である交互方向定数法のボトルネックを解消することで達成
→ domain space sparsity & correlative sparsity
- 既存研究
内点法+疎性の活用

目次

- 1 半正定値計画問題
- 2 交互方向乗数法
- 3 domain space sparsity
- 4 correlative sparsity
- 5 数値実験
- 6 まとめ

半正定値計画問題

等式標準形の半正定値計画問題

$$(P) \quad \begin{array}{ll} \text{minimize} & A_0 \bullet X \\ \text{subject to} & \mathcal{A}(X) = b \\ & S^n \ni X \succeq O \end{array}$$

$$(D) \quad \begin{array}{ll} \text{maximize} & b^T y \\ \text{subject to} & \mathcal{A}^*(y) + S = A_0 \\ & (\Leftrightarrow A_0 - \mathcal{A}^*(y) \succeq O) \\ & S^n \ni S \succeq O, y \in \mathbb{R}^m \end{array}$$

- $b \in \mathbb{R}^m$, $A_i \in S^n$ ($i = 1, 2, \dots, m$), $A_0 \in S^n$, S^n : n 次元対称行列空間
- $A \bullet B := \sum_i \sum_j A_{i,j} B_{i,j} = \text{Tr}(A^T B)$,
 $\mathcal{A}(X) := (A_1 \bullet X, A_2 \bullet X, \dots, A_m \bullet X)^T$, $\mathcal{A}^*(y) := \sum_{i=1}^m y_i A_i$,
- $X \succeq O \Leftrightarrow X$ の全ての固有値 λ が $\lambda \geq 0 \Leftrightarrow u^T X u \geq 0$ ($\forall u \neq 0$)

交互方向乗数法

$$(D) \quad \min \quad -b^T y \quad \text{s.t.} \quad \mathcal{A}^*(y) + \mathbf{S} = \mathbf{A}_0, \quad \mathbf{S}^n \ni \mathbf{S} \succeq \mathbf{O}, \quad y \in \mathbb{R}^m$$

- 双対問題 (D) に対する拡張ラグランジュ関数

$$\mathcal{L}_\mu(\mathbf{X}, y, \mathbf{S}) := -b^T y + \mathbf{X} \bullet (\mathcal{A}^*(y) + \mathbf{S} - \mathbf{A}_0) + \frac{1}{2\mu} \|\mathcal{A}^*(y) + \mathbf{S} - \mathbf{A}_0\|_F^2$$

- 変数を 交互 に更新する反復解法
(Alternating direction method of multipliers, ADMM)
- k 反復目

$$\mathbf{y}^{k+1} := \arg \min_{y \in \mathbb{R}^m} \mathcal{L}_\mu(\mathbf{X}^k, \mathbf{y}, \mathbf{S}^k)$$

$$\mathbf{S}^{k+1} := \arg \min_{\mathbf{S} \in \mathbf{S}^n} \mathcal{L}_\mu(\mathbf{X}^k, \mathbf{y}^{k+1}, \mathbf{S}), \quad \mathbf{S} \succeq \mathbf{O}$$

$$\mathbf{X}^{k+1} := \mathbf{X}^k + \frac{\mathcal{A}^*(\mathbf{y}^{k+1}) + \mathbf{S}^{k+1} - \mathbf{A}_0}{\mu}$$

更新式の解析解

- y , S , X の更新式には解析解が存在

$$y^{k+1} := -(\mathcal{A}\mathcal{A}^*)^{-1}(\mu(\mathcal{A}(\mathbf{X}^k) - b) + \mathcal{A}(\mathbf{S}^k - \mathbf{A}_0)), ((\mathcal{A}\mathcal{A}^*)_{ij} := \mathbf{A}_i \bullet \mathbf{A}_j)$$

S , X は V を以下とした最適化問題を解くと求められる

$$\begin{aligned} \mathbf{V}^{k+1} &:= \mathbf{A}_0 - \mathcal{A}^*(y^{k+1}) - \mu \mathbf{X}^k \\ \min_{S \in S^n} &\|S - \mathbf{V}^{k+1}\|_F^2, \quad S \succeq O \end{aligned}$$

→ V の固有値分解を考えると解くことが可能

ADMM の問題点

- ① $\mathcal{A}\mathcal{A}^*$ の逆行列計算 (y の更新)
- ② V の固有値分解 (X , S の更新)

更新式の解析解

- y , S , X の更新式には解析解が存在

$$y^{k+1} := -(\mathcal{A}\mathcal{A}^*)^{-1}(\mu(\mathcal{A}(\mathbf{X}^k) - b) + \mathcal{A}(\mathbf{S}^k - \mathbf{A}_0)), ((\mathcal{A}\mathcal{A}^*)_{ij} := \mathbf{A}_i \bullet \mathbf{A}_j)$$

S , X は V を以下とした最適化問題を解くと求められる

$$\begin{aligned} \mathbf{V}^{k+1} &:= \mathbf{A}_0 - \mathcal{A}^*(y^{k+1}) - \mu \mathbf{X}^k \\ \min_{S \in S^n} &\|\mathbf{S} - \mathbf{V}^{k+1}\|_F^2, \quad \mathbf{S} \succeq \mathbf{O} \end{aligned}$$

→ V の **固有値分解** を考えると解くことが可能

ADMM の問題点

- ① $\mathcal{A}\mathcal{A}^*$ の逆行列計算 (y の更新) → correlative sparsity
- ② V の固有値分解 (X , S の更新) → domain space sparsity

更新式の解析解

- y , S , X の更新式には解析解が存在

$$y^{k+1} := -(\mathcal{A}\mathcal{A}^*)^{-1}(\mu(\mathcal{A}(\mathbf{X}^k) - b) + \mathcal{A}(\mathbf{S}^k - \mathbf{A}_0)), ((\mathcal{A}\mathcal{A}^*)_{ij} := \mathbf{A}_i \bullet \mathbf{A}_j)$$

S , X は V を以下とした最適化問題を解くと求められる

$$\begin{aligned} \mathbf{V}^{k+1} &:= \mathbf{A}_0 - \mathcal{A}^*(y^{k+1}) - \mu \mathbf{X}^k \\ \min_{S \in S^n} &\|\mathbf{S} - \mathbf{V}^{k+1}\|_F^2, \quad \mathbf{S} \succeq \mathbf{O} \end{aligned}$$

→ V の固有値分解 を考えると解くことが可能

ADMM の問題点

- ① $\mathcal{A}\mathcal{A}^*$ の逆行列計算 (y の更新) → correlative sparsity
- ② V の固有値分解 (X , S の更新) → domain space sparsity

半正定値制約を含む最適化問題

$$\begin{array}{ll}\text{minimize} & f(x, \mathbf{X}) \\ \text{subject to} & g(x, \mathbf{X}) \in \Omega, \quad S^n \ni \mathbf{X} \succeq O, \quad x \in \mathbb{R}^l\end{array}$$

$$f : \mathbb{R}^l \times S^n \rightarrow \mathbb{R}, \quad g : \mathbb{R}^l \times S^n \rightarrow \Omega$$

- 等式標準形の SDP の主問題 (P) を含む

domain space sparsity(d-space 疎性)

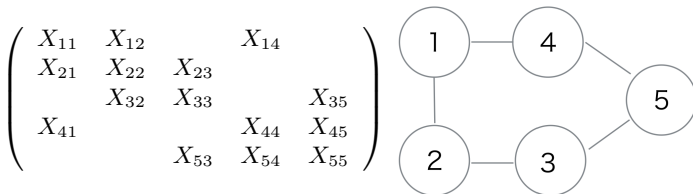
$N = \{1, 2, \dots, n\}$, $E := \{(i, j) \in N \times N : i \neq j, X_{ij} : f, g \text{ の評価に必要な} \}$
 $\rightarrow G(N, E)$: domain space sparsity pattern graph

- SDP の例

$$\min \begin{pmatrix} 3 & 2 & 0 & 2 & 0 \\ 2 & 1 & 5 & 0 & 0 \\ 0 & 5 & -5 & 0 & 2 \\ 2 & 0 & 0 & 1 & 2 \\ 0 & 0 & 2 & 2 & 3 \end{pmatrix} \bullet X, \quad \text{s.t.} \quad \begin{pmatrix} 1 & 1 & 0 & 1 & 0 \\ 1 & -2 & 3 & 0 & 0 \\ 0 & 3 & 5 & 0 & 2 \\ 1 & 0 & 0 & -5 & 2 \\ 0 & 0 & 2 & 2 & 1 \end{pmatrix} \bullet X = 1, \quad X \succeq O$$

- 疎性があるため下の要素のみで目的関数・等式制約の評価が可能

d-space 疎パターングラフ



→ 特定の要素のみで評価可能

- しかし $X \succeq O$ がある

半正定値行列補完

- 半正定値行列補完

$$X = \begin{pmatrix} 2 & 1 & & & \\ 1 & 9 & 1 & & \\ & & 1 & 4 & \\ 1 & & & 5 & 1 \\ & & 1 & 1 & 4 \end{pmatrix} \xrightarrow{\text{補完}} \bar{X} = \begin{pmatrix} 2 & 1 & 1 & 1 & 2 \\ 1 & 9 & 1 & 0 & 0 \\ 1 & 1 & 4 & 1 & 1 \\ 1 & 0 & 1 & 5 & 1 \\ 2 & 0 & 1 & 1 & 4 \end{pmatrix} \succeq O$$

定理: 半正定値補完可能な必要十分条件

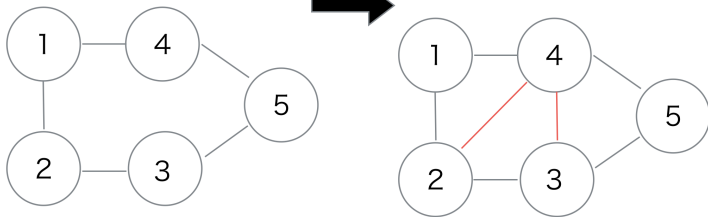
不完全対称行列 X がある半正定値行列 $\bar{X} \succeq O$ に補完が可能である
必要十分条件は **コーダルグラフ** $G(N, \bar{E})$ の極大クリークを C_k ($k = 1, 2, \dots, r$) と
すると $X(C_k) \succeq O$ ($k = 1, 2, \dots, r$)

- $G(N, \bar{E}) : G(N, E)$ の **コーダル拡張** (chordal extension)
- コーダルグラフ: 長さが 4 以上のサイクルには chord(弦) をもつグラフ

半正定値制約の分解

- コーダル拡張 (chordal extension)

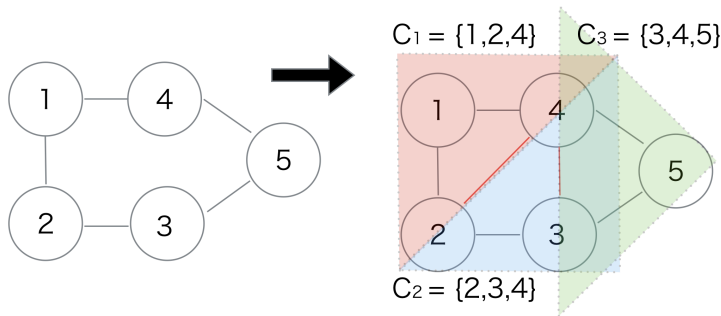
chordal extension



$$X \succeq O$$

半正定値制約の分解

- コーダル拡張 (chordal extension)



$$X \succeq O$$

$$\rightarrow \begin{pmatrix} X_{11} & X_{12} & X_{14} \\ X_{21} & X_{22} & X_{24} \\ X_{41} & X_{42} & X_{44} \end{pmatrix}, \begin{pmatrix} X_{22} & X_{23} & X_{24} \\ X_{32} & X_{33} & X_{34} \\ X_{42} & X_{43} & X_{44} \end{pmatrix}, \begin{pmatrix} X_{33} & X_{34} & X_{35} \\ X_{43} & X_{44} & X_{45} \\ X_{53} & X_{54} & X_{55} \end{pmatrix} \succeq O$$

domain space conversion

- $G(N, \overline{E})$:d-space 疎パターングラフ $G(N, E)$ のコードル拡張
- $E \subseteq \overline{E}$ は f, g の評価に必要な要素の位置 (i, j) の集合
- $C_k : G(N, \overline{E})$ の極大クリーク ($k = 1, 2, \dots, r$)

domain space conversion(d-space 変換)

$$\begin{aligned} &\text{minimize} && \tilde{f}(x, \mathbf{X}(C_1), \mathbf{X}(C_2), \dots, \mathbf{X}(C_r)) \\ &\text{subject to} && \tilde{g}(x, \mathbf{X}(C_1), \mathbf{X}(C_2), \dots, \mathbf{X}(C_r)) \in \Omega, \\ &&& \mathbf{X}(C_k) \succeq O \ (k = 1, 2, \dots, r), \ x \in \mathbb{R}^l \end{aligned}$$

→ \mathbf{X} の半正定値制約が小さいサイズの行列 $\mathbf{X}(C_k)$ の半正定値制約となる

等式標準形 SDP に d-space 変換

$$\begin{aligned}
 (P) \quad & \text{minimize} && \sum_{q=1}^N \widehat{\mathbf{A}}_0^q \bullet \widehat{\mathbf{X}}^q \\
 & \text{subject to} && \sum_{q=1}^N \widehat{\mathbf{A}}_p^q \bullet \widehat{\mathbf{X}}^q = \hat{b}_p \quad (p = 1, 2, \dots, \hat{m}) \\
 & && S^{n_q} \ni \widehat{\mathbf{X}}^q \succeq O \quad (q = 1, 2, \dots, N)
 \end{aligned}$$

- ブロック対角構造にすることで等式標準形 SDP

→ ADMM における固有値分解する行列がブロック毎の小さい行列に

$$\widehat{\mathbf{A}}_p = \begin{pmatrix} \widehat{\mathbf{A}}_p^1 & O & \dots & O \\ O & \widehat{\mathbf{A}}_p^2 & \dots & O \\ \vdots & \vdots & \ddots & \vdots \\ O & O & \dots & \widehat{\mathbf{A}}_p^N \end{pmatrix}, \widehat{\mathbf{X}} = \begin{pmatrix} \widehat{\mathbf{X}}^1 & O & \dots & O \\ O & \widehat{\mathbf{X}}^2 & \dots & O \\ \vdots & \vdots & \ddots & \vdots \\ O & O & \dots & \widehat{\mathbf{X}}^N \end{pmatrix}$$

($p = 0, 1, 2, \dots, \hat{m}$)

更新式の解析解

- y, S, X の更新式には解析解が存在

$$y^{k+1} := -(\mathcal{A}\mathcal{A}^*)^{-1}(\mu(\mathcal{A}(\mathbf{X}^k) - b) + \mathcal{A}(\mathbf{S}^k - \mathbf{A}_0)), ((\mathcal{A}\mathcal{A}^*)_{ij} := \mathbf{A}_i \bullet \mathbf{A}_j)$$

S, X は V を以下とした最適化問題を解くと求められる

$$\begin{aligned} \mathbf{V}^{k+1} &:= \mathbf{A}_0 - \mathcal{A}^*(y^{k+1}) - \mu \mathbf{X}^k \\ \min_{S \in S^n} &\|S - \mathbf{V}^{k+1}\|_F^2, \quad S \succeq O \end{aligned}$$

→ V の固有値分解 を考えると解くことが可能

ADMM の問題点

- ① $\mathcal{A}\mathcal{A}^*$ の逆行列計算 (y の更新) → correlative sparsity
- ② V の固有値分解 (X, S の更新) → domain space sparsity

correlative sparsity

$$\min f_0(y) \quad \text{s.t.} \quad F_k(y) \succeq O \quad (k = 1, 2, \dots, p), \quad y \in \mathbb{R}^m$$

→ 等式標準形 SDP の双対問題 (D) を含む ($p = 1$)

correlative sparsity

$N = \{1, 2, \dots, m\}$, $E := \{(i, j) : \exists k \text{ s.t. } y_i \text{ と } y_j \text{ の値が } F_k(y) \text{ の評価に必要な}\}$
→ $G(N, E)$: correlative sparsity pattern graph

双対問題 (D) の制約

$$F_1(y) = A_0 - A^*(y) = A_0 - \sum_{i=1}^m y_i A_i \succeq O$$

→ 対角ブロックが 1 つなら $A_i \neq O$ ($i = 1, 2, \dots, m$) より F_1 の評価に
全ての y_i が必要なため correlative sparsity がない ($G(N, E)$ が完全グラフ)

- 等式標準形 SDP に d-space 変換

双対問題 (D) の 1 個の制約 $F_1(y) = A_0 - \sum_{i=1}^m y_i A_i \succeq O$

→ N 個の制約 $\hat{F}_k(\hat{y}) = \hat{A}_0^k - \sum_{i=1}^{\hat{m}} \hat{y}_i \hat{A}_i^k \succeq O$ ($k = 1, 2, \dots, N$)

→ 任意の k に対し $\hat{A}_i^k = O$ または $\hat{A}_j^k = O$ となる (i, j) が
多ければ correlative sparsity が疎になる

→ d-space 変換で correlative sparsity が疎になりやすくなる

d-space conversion & correlative sparsity

例)d-space 变换後

$$\begin{aligned}\hat{\mathbf{A}}_1 &= \begin{pmatrix} \hat{\mathbf{A}}_1^1 & & & \\ & o & & \\ & & o & \\ & & & o \end{pmatrix}, \hat{\mathbf{A}}_2 = \begin{pmatrix} o & & & \\ & o & & \\ & & \hat{\mathbf{A}}_2^3 & \\ & & & o \end{pmatrix}, \hat{\mathbf{A}}_3 = \begin{pmatrix} o & & & \\ & o & & \\ & & \hat{\mathbf{A}}_3^3 & \\ & & & \hat{\mathbf{A}}_3^4 \end{pmatrix}, \\ \hat{\mathbf{A}}_4 &= \begin{pmatrix} o & & & \\ & o & & \\ & & o & \\ & & & \hat{\mathbf{A}}_4^4 \end{pmatrix}, \hat{\mathbf{A}}_5 = \begin{pmatrix} \hat{\mathbf{A}}_5^1 & & & \\ & \hat{\mathbf{A}}_5^2 & & \\ & & \hat{\mathbf{A}}_5^3 & \\ & & & \hat{\mathbf{A}}_5^4 \end{pmatrix}, \hat{\mathbf{A}}_6 = \begin{pmatrix} o & & & \\ & \hat{\mathbf{A}}_6^2 & & \\ & & o & \\ & & & o \end{pmatrix}\end{aligned}$$

$$\hat{F}_1(\hat{y}) = \hat{\mathbf{A}}_0^1 - (\hat{y}_1 \hat{\mathbf{A}}_1^1 + \hat{y}_5 \hat{\mathbf{A}}_5^1), \quad \hat{F}_2(\hat{y}) = \hat{\mathbf{A}}_0^2 - (\hat{y}_5 \hat{\mathbf{A}}_5^2 + \hat{y}_6 \hat{\mathbf{A}}_6^2),$$

$$\hat{F}_3(\hat{y}) = \hat{\mathbf{A}}_0^3 - (\hat{y}_2 \hat{\mathbf{A}}_2^3 + \hat{y}_3 \hat{\mathbf{A}}_3^3 + \hat{y}_5 \hat{\mathbf{A}}_5^3), \quad \hat{F}_4(\hat{y}) = \hat{\mathbf{A}}_0^4 - (\hat{y}_3 \hat{\mathbf{A}}_3^4 + \hat{y}_4 \hat{\mathbf{A}}_4^4 + \hat{y}_5 \hat{\mathbf{A}}_5^4)$$

d-space conversion & correlative sparsity

例)d-space 変換後

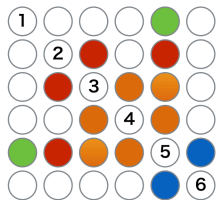
$$\hat{\mathbf{A}}_1 = \begin{pmatrix} \hat{\mathbf{A}}_1^1 & & & \\ & o & & \\ & & o & \\ & & & o \end{pmatrix}, \hat{\mathbf{A}}_2 = \begin{pmatrix} o & & & \\ & o & & \\ & & \hat{\mathbf{A}}_2^3 & \\ & & & o \end{pmatrix}, \hat{\mathbf{A}}_3 = \begin{pmatrix} o & & & \\ & o & & \\ & & \hat{\mathbf{A}}_3^3 & \\ & & & \hat{\mathbf{A}}_3^4 \end{pmatrix},$$

$$\hat{\mathbf{A}}_4 = \begin{pmatrix} o & & & \\ & o & & \\ & & o & \\ & & & \hat{\mathbf{A}}_4^4 \end{pmatrix}, \hat{\mathbf{A}}_5 = \begin{pmatrix} \hat{\mathbf{A}}_5^1 & & & \\ & \hat{\mathbf{A}}_5^2 & & \\ & & \hat{\mathbf{A}}_5^3 & \\ & & & \hat{\mathbf{A}}_5^4 \end{pmatrix}, \hat{\mathbf{A}}_6 = \begin{pmatrix} o & & & \\ & \hat{\mathbf{A}}_6^2 & & \\ & & o & \\ & & & o \end{pmatrix}$$

$$\hat{F}_1(\hat{y}) = \hat{\mathbf{A}}_0^1 - (\hat{y}_1 \hat{\mathbf{A}}_1^1 + \hat{y}_5 \hat{\mathbf{A}}_5^1), \hat{F}_2(\hat{y}) = \hat{\mathbf{A}}_0^2 - (\hat{y}_5 \hat{\mathbf{A}}_5^2 + \hat{y}_6 \hat{\mathbf{A}}_6^2),$$

$$\hat{F}_3(\hat{y}) = \hat{\mathbf{A}}_0^3 - (\hat{y}_2 \hat{\mathbf{A}}_2^3 + \hat{y}_3 \hat{\mathbf{A}}_3^3 + \hat{y}_5 \hat{\mathbf{A}}_5^3), \hat{F}_4(\hat{y}) = \hat{\mathbf{A}}_0^4 - (\hat{y}_3 \hat{\mathbf{A}}_3^4 + \hat{y}_4 \hat{\mathbf{A}}_4^4 + \hat{y}_5 \hat{\mathbf{A}}_5^4)$$

変換前: 密 ($G(N, E)$ が完全グラフ) \rightarrow 変換後:



- d-space 変換後の correlative sparsity pattern graph を $G(N, E)$ とすると $(i, j) \notin E \Rightarrow$ 全ての k に対し, \hat{A}_i^k, \hat{A}_j^k の少なくともどちらか一方が O

$$(\widehat{\mathcal{AA}}^*)_{i,j} = \hat{A}_i \bullet \hat{A}_j = \sum_{k=1}^N \hat{A}_i^k \bullet \hat{A}_j^k = O$$

- $(i, j) \in E$ であっても $\hat{A}_i \bullet \hat{A}_j = 0$ になる場合もあるので $\widehat{\mathcal{AA}}^*$ の疎性を $G(N, \hat{E})$ とすると $\hat{E} \subseteq E$

→ d-space conversion をしても $\widehat{\mathcal{AA}}^*$ に疎性が現れやすい

y の更新

- y^{k+1} は線形方程式 $\nabla_y \mathcal{L}_\mu(\mathbf{X}^k, y, \mathbf{S}^k) = 0$

$$\Leftrightarrow (\mathcal{A}\mathcal{A}^*)(y) = -(\mu(\mathcal{A}(\mathbf{X}^k) - b) + \mathcal{A}(\mathbf{S}^k - \mathbf{A}^0))$$

の解

- d-space 変換をすると correlative sparsity が疎になりやすい
 - $\widehat{\mathcal{A}\mathcal{A}^*}$ に疎性が現れやすい
 - 行と列を並び替える疎コレスキー分解 (fill-in が少ない) の利用

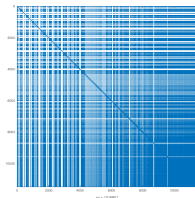


Figure: 並び替え前

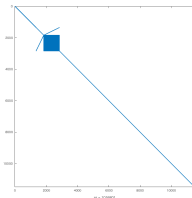


Figure: 並び替え後

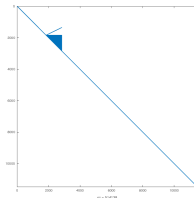


Figure: コレスキー分解

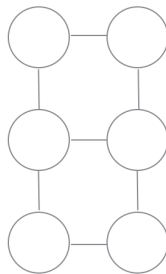
ここまでのまとめ

- 疎性があれば d-space 変換で固有値分解する行列を複数の小さい行列に分解
→ X, S の更新時間の短縮が望める
- d-space 変換で correlative sparsity が疎になりやすくなる
→ \widehat{AA}^* が疎になりやすくなる
→ y の更新は \widehat{AA}^* に疎コレスキー分解を利用
→ メモリを少なく & 計算時間短縮が望める

- SDP 緩和した格子グラフ (500×10) 上の最大クリーク問題に対して実験を行った

- 実験環境

- OS: OS X Yosemite 10.10.5
- CPU: 2.7 GHz Intel Core i5
- メモリ: 16 GB 1867 MHz DDR3
- 内点法: SeDuMi 1.34 (beta)
- ADMM: MATLAB R2015b で実装
- 分解: SparseCoLO



- $gap := \frac{|b^T y - C \bullet X|}{1 + |b^T y| + |C \bullet X|}$, $pinf := \frac{\|\mathcal{A}(X) - b\|_2}{1 + \|b\|_2}$, $dinf := \frac{\|\mathcal{A}^*(y) + S - C\|_F}{1 + \|C\|_1}$ とし、終了条件は $\delta = \max\{gap, pinf, dinf\} < 10^{-3}$

数値実験

- 最大クリーク... 無向グラフ内の最大のクリークを求める問題

	Memory(GB)	Time(s)	Time/ltr	固有値分解(s)	yの更新(s)	逆行列(s)
ADMM	2.56	over1day	146.6	141.7	0.608	1.7
ADMM - A	12.29	20239	3.4	0.166	2.693	7423
ADMM - B	4.68	1927	0.52	0.208	0.147	-

- ADMM:交互方向乗数法, A:d-space 変換, B:d-space 変換+疎コレスキー分解
- d-space 変換前後のブロック数 N と最大ブロックサイズ M_{blk}
 - $N:1 \quad M_{blk}:5000 \rightarrow N:2095 \quad M_{blk}:59$
- 問題サイズ 行列変数 $(n \times n)$, ベクトル変数 m
 - $n:5000 \quad m:9491 \rightarrow n:44058 \quad m:128493$

数値実験

- 最大クリーク... 無向グラフ内の最大のクリークを求める問題

	Memory(GB)	Time(s)	Time/ltr	固有値分解(s)	yの更新(s)	逆行列(s)
ADMM	2.56	over 1 day	146.6	141.7	0.608	1.7
ADMM - A	12.29	20239	3.4	0.166	2.693	7423
ADMM - B	4.68	1927	0.52	0.208	0.147	-

- ADMM: 交互方向乗数法, A:d-space 変換, B:d-space 変換+疎コレスキー分解
- d-space 変換前後のブロック数 N と最大ブロックサイズ M_{blk}
 - $N:1$ $M_{blk}:5000 \rightarrow N:2095$ $M_{blk}:59$
- 問題サイズ 行列変数 $(n \times n)$, ベクトル変数 m
 - $n:5000$ $m:9491 \rightarrow n:44058$ $m:128493$

数値実験

- 最大クリーク... 無向グラフ内の最大のクリークを求める問題

	Memory(GB)	Time(s)	Time/ltr	固有値分解(s)	yの更新(s)	逆行列(s)
ADMM	2.56	over1day	146.6	141.7	0.608	1.7
ADMM - A	12.29	20239	3.4	0.166	2.693	7423
ADMM - B	4.68	1927	0.52	0.208	0.147	-

- ADMM:交互方向乗数法, A:d-space 変換, B:d-space 変換+疎コレスキー分解
- d-space 変換前後のブロック数 N と最大ブロックサイズ M_{blk}
 - $N:1 \quad M_{blk}:5000 \rightarrow N:2095 \quad M_{blk}:59$
- 問題サイズ 行列変数 $(n \times n)$, ベクトル変数 m
 - $n:5000 \quad m:9491 \rightarrow n:44058 \quad m:128493$

数値実験

- 最大クリーク... 無向グラフ内の最大のクリークを求める問題

	Memory(GB)	Time(s)	Time/ltr	固有値分解(s)	yの更新(s)	逆行列(s)
ADMM	2.56	over 1 day	146.6	141.7	0.608	1.7
ADMM - A	12.29	20239	3.4	0.166	2.693	7423
ADMM - B	4.68	1927	0.52	0.208	0.147	-

- ADMM: 交互方向乗数法, A:d-space 変換, B:d-space 変換+疎コレスキー分解
- d-space 変換前後のブロック数 N と最大ブロックサイズ M_{blk}
 - $N:1 \quad M_{blk}:5000 \rightarrow N:2095 \quad M_{blk}:59$
- 問題サイズ 行列変数 $(n \times n)$, ベクトル変数 m
 - $n:5000 \quad m:9491 \rightarrow n:44058 \quad m:128493$

数値実験 - 内点法との比較

	Memory(GB)	Time(s)	P-opt	D_opt
内点法	6.96	8243	1.471787	1.471786
ADMM	2.56	over 1 day	-	-
内点法 - A	11.48	3262	1.472327	1.473374
ADMM - B	4.68	1927	1.474991	1.475355

- ADMM: 交互方向乗数法, A: d-space 変換, B: d-space 変換 + 疎コレスキー分解

数値実験 - 内点法との比較

	Memory(GB)	Time(s)	P-opt	D_opt
内点法	6.96	8243	1.471787	1.471786
ADMM	2.56	over 1 day	-	-
内点法 - A	11.48	3262	1.472327	1.473374
ADMM - B	4.68	1927	1.474991	1.475355

- ADMM: 交互方向乗数法, A:d-space 変換, B:d-space 変換+疎コレスキー分解
- 内点法 : メモリ (多) 計算時間 (多)
- ADMM : メモリ (少) 計算時間 (少)

まとめ

- SDP における 2 つの疎性と、ADMM における疎性の活用を紹介した
 - ① domain space sparsity \rightarrow 行列変数 X, S
 - ② correlative sparsity \rightarrow ベクトル変数 y
- ADMM において疎性を活用することで、メモリを少なく抑えつつ計算時間の短縮を達成
- 今後の課題
 - ① 他の 1 次法との比較
 - ② 固有値分解の並列化

参考文献

- [1] Z. Wen, D. Godtfrab, and W. Yin. Alternating direction augmented Lagrangian methods for semidefinite programming. *Mathematical Programming Computation*, 2, 203-230, 2010.
- [2] M. Fukuda, M. Kojima, K. Murota, and K. Nakata. Exploiting Sparsity in Semidefinite Programming via Matrix Completion I: General Framework. *SIAM Journal on Optimization*, 11, 647-674, 2000.
- [3] 大規模 SDP 問題を解く研究について http://www.me.titech.ac.jp/~nakata/SDP_large/SDP_large.html
- [4] S. Kim, M. Kojima, M. Mevissen, and M. Yamashita. Exploiting sparsity in linear and nonlinear matrix inequalities via positive semidefinite matrix completion, *Mathematical Programming*, 129, 33-68, 2011.
- [5] K. Fujisawa, S. Kim, M. Kojima, Y. Okamoto, and M. Yamashita. User 's Manual for SparseCoLO: Conversion Methods for SPARSE CONic-form Linear Optimization Problems. Department of Mathematical and Computing Sciences Tokyo Institute of Technology, Oh-Okayama, Meguro-ku, Tokyo 152-8552, Japan, Tech. Rep. B-453, 2009.